

Análise e Comparação do Algoritmo de Hash Argon2

Nelson Vieira

Faculdade de Ciências Exatas e da Engenharia

Universidade da Madeira

Funchal, Portugal

2080511@student.uma.pt

Abstract—Este artigo serve como uma análise sobre o algoritmo de *hash* Argon2, será realizada uma análise do algoritmo, tentando perceber a necessidade da sua criação, os pontos fortes e os pontos fracos, e o que este algoritmo oferece em relação a outros algoritmos de *hash* já existentes. Sobretudo este artigo procura responder as seguintes questões: porquê que este algoritmo está a ser recomendado e será que devemos substituir os algoritmos que estão em uso por este?

Index Terms—Argon2, criptografia, algoritmo de *hash*

I. INTRODUÇÃO

As palavras-passe, apesar de todas as suas desvantagens, permanecem a forma principal de autenticação em vários serviços da Web. As palavras-passe são geralmente armazenadas num formato *hash* na base de dados de um servidor [1]. Uma função de *hash* criptográfica é um procedimento matemático que converte dados de qualquer tamanho, podemos chamar estes dados de "mensagem", numa matriz de bits de tamanho fixo, o valor de *hash*. É uma função unidirecional, o que significa que inverter ou reverter a computação é quase impossível. A única maneira de encontrar uma mensagem que gera um *hash* específico é tentar uma pesquisa de força bruta de todas as entradas em potencial para ver se alguma delas fornece uma correspondência ou usar uma rainbow table de *hashes* correspondentes. A criptografia moderna depende muito de funções de *hash* criptográficas. Bases de dados são bastante frequentemente capturados por atacantes, que aplicam ataques de dicionário, já que as palavras-passe tendem a ter entropia baixa. Os designers de protocolo usam um número de truques para mitigar esses problemas. Uma função *hash* criptográfica deve ser determinística, o que significa que deve sempre produzir o mesmo *hash* para a mesma mensagem. Também deve ter geralmente as seguintes características:

- O valor de *hash* para cada mensagem fornecida pode ser calculado rapidamente;
- É impossível criar uma mensagem que retorne um determinado valor de *hash* (ou seja, reverter o processo que gerou o valor de *hash* fornecido);
- É impossível encontrar duas mensagens que tenham o mesmo valor de *hash*;
- Uma pequena alteração numa mensagem deve fazer com que o valor de *hash* mude tão drasticamente que o novo valor de *hash* pareça não relacionado ao valor de *hash* anterior (efeito de avalanche).

[2]

Organizações e programadores recebem muitas novas opções no uso de mecanismos criptográficos. Escolhas inadequadas podem resultar numa ilusão de segurança, mas pouca ou nenhuma segurança real para o protocolo ou aplicação. A partir do final dos anos 70, as palavras-passe passaram a ser *hashed* com um valor de *salt* aleatório para evitar a deteção de palavras-passe idênticas em diferentes utilizadores e serviços. Os cálculos de função de *hash*, que se tornaram mais rápidos e mais rápidos devido à lei de Moore, foram chamados várias vezes para aumentar o custo de tentativas de palavra-passe para o atacante. [1]

Muitas aplicações de segurança da informação usam funções de *hash* criptográfico, incluindo assinaturas digitais, códigos de autenticação de mensagem e outras formas de autenticação. Também podem ser usados como funções de *hash* regulares, indexação de dados em tabelas de *hash*, fingerprint, deteção de dados duplicados e como checksums para detetar corrupção de dados. Os valores de *hash* criptográficos são frequentemente referidos como fingerprints, checksums ou simplesmente valores de *hash* em contextos de segurança de sistemas de informação, apesar de todas essas terminologias referirem-se a funções mais genéricas com atributos e objetivos bastante distintos. [3]

O Argon2 é um algoritmo de *hash* criptográfico que tem como objetivo resolver os problemas atuais do processo de *hashing*, criado por Alex Biryukov, Daniel Dinu e Dmitry Khovratovich da Universidade de Luxemburgo. O Argon2 possui 6 parâmetros de entrada: *password*, *salt*, custo de memória (o uso de memória do algoritmo), custo de tempo (o tempo de execução do algoritmo e o número de iterações), fator paralelismo (o número de fios paralelos), comprimento da *hash*.

Este algoritmo de *hash* criptográfico é uma *key derivation function* (KDF) que foi selecionada como o vencedor da Password Hashing Competition [4] em 2015, ganhou esta competição de entre 24 algoritmos. Para além de ganhar esta competição também foi aceite como um standard RFC 9106 [5] em 2021.

II. RAZÃO DA CRIAÇÃO DO ALGORITMO

A. Os esquemas existentes de hashing e os seus problemas

A solução trivial para *hash* de palavra-passe é uma função de *hash* digitada como o HMAC, mas esta solução requer o uso de chaves secretas. Se o designer de protocolo preferir *hashing* sem chaves secretas para evitar todos os problemas com geração, armazenamento e atualização de chaves, ele tem poucas alternativas: o modo genérico PBKDF2, o bcrypt baseado no Blowfish, e scrypt. Entre esses, apenas scrypt visa a alta memória, mas a instabilidade de uma troca de tempo trivial permite implementações compactas com o mesmo custo de energia. O design de uma função memory-hard provou ser um problema difícil. Desde o início dos anos 80, sabe-se que muitos problemas criptográficos que aparentemente exigem memória grande, na verdade, permitem uma troca de tempo de memória, onde o atacante pode negociar memória por tempo e fazer o seu trabalho no hardware rápido com memória baixa. Em aplicação aos esquemas de *hash* de palavra-passe, isso significa que os crackers de palavra-passe ainda podem ser implementados num hardware dedicado, mesmo que por algum custo adicional. Outro problema com os esquemas existentes é a sua complexidade. O mesmo scrypt chama uma pilha de sub-processos, cuja razão de design não foi totalmente motivada. É difícil analisar e, além disso, difícil conseguir confiança. Finalmente, não é flexível em separar o tempo e os custos de memória. Ao mesmo tempo, a história das competições criptográficas demonstrou que os projetos mais seguros vêm com simplicidade, onde cada elemento é bem motivado e um criptoanalista tem apenas poucos pontos de entrada.

A Password Hashing Competition, que começou em 2014, destacou os seguintes problemas:

- O que acontece se o endereçamento de memória for independente do input ou dependente do input, ou híbrido?
- O primeiro tipo de esquemas, onde o local de leitura da memória é conhecida com antecedência, é imediatamente vulnerável aos ataques de time-space tradeoff, já que um atacante pode pré-computar o bloco ausente no momento em que é necessário. Por sua vez, os esquemas dependentes do input são vulneráveis a ataques side-channel, como as informações de tempo permitem uma pesquisa de palavra-passe muito mais rápida.
- É melhor encher a memória mas sofrer de compensações de espaço-tempo, ou fazer mais passes pela memória para ser mais robusto? Esta questão foi bastante difícil de responder devido à ausência de ferramentas de tradeoff genéricas, que analisaria a segurança contra ataques de troca e a ausência de métrica unificada para medir os custos do adversário. Como os endereços independentes do input devem ser computados? Várias opções aparentemente seguras foram atacadas.
- Quão grande bloco de memória único deve ser? Ler blocos menores colocados aleatoriamente é mais lento (em ciclos por byte) devido ao princípio da localidade espacial do cache do CPU. Por sua vez, blocos maiores são difíceis

de processar devido ao número limitado de registradores longos. Se o bloco for grande, como escolher a função de compactação interna? Deve ser criptograficamente seguro ou mais leve, fornecendo apenas uma mistura básica das entradas? Muitos candidatos simplesmente propuseram uma construção iterativa e argumentavam contra transformações criptograficamente fortes.

- Como explorar várias cores das CPUs modernas, quando estiverem disponíveis? Paralelizar chamadas para a função de *hashing* com qualquer interação está sujeita a ataques tradicionais simples.

[1]

B. Solução proposta pelo Argon2 para os problemas de esquemas existentes

O Argon2 é uma função memory-hard. É um design simplificado. Visa a maior taxa de enchimento de memória e uso efetivo de várias unidades de computação, enquanto ainda fornece defesa contra ataques de trade-off. O Argon2 é otimizado para a arquitetura X86 e explora a organização de cache e memória dos recentes processadores Intel e AMD. O Argon2 tem uma variante principal, Argon2id e duas variantes suplementares, Argon2d e Argon2i. O Argon2d usa acesso à memória dependente de dados, o que o torna adequado para criptomoedas e aplicações sem ameaças de ataques de temporização *side-channel*. O Argon2i usa acesso à memória independente de dados, que é preferido para *hash* de palavra-passe e derivação de chave baseada em palavra-passe. O Argon2id funciona como Argon2i para a primeira metade da primeira passagem sobre a memória e como Argon2d para o resto, fornecendo assim a proteção de ataques *side-channel* e poupança de força bruta devido a trade-offs de tempo de memória. O Argon2i faz mais passes pela memória para proteger de ataques de trade-off. [5]

Argon2 é um tipo de computação memory-hard em que, como paradigma genérico, consiste no seguinte: cada tarefa é amalgamada com um determinado procedimento que requer acesso intensivo à RAM tanto em termos de tamanho quanto (muito importante) largura de banda, de modo que a transferência de computação para GPU, FPGA e até mesmo ASIC (application-specific integrated circuit) traz pouca ou nenhuma redução de custos. Esquemas criptográficos que são executados neste contexto tornam-se igualitários no sentido de que os utilizadores e os invasores são iguais nas condições de relação de desempenho de preços. [6]

Argon2 tem dois tipos de entradas: entradas primárias e entradas secundárias, ou parâmetros. As entradas primárias são a mensagem P e o nonce S , que são palavra-passe e *salt*, respectivamente, para o *hash* de palavra-passe. As entradas primárias devem sempre ser fornecidas pelo usuário de forma que

- A mensagem P pode ter qualquer tamanho de 0 a $2^{32} - 1$ bytes;
- Nonce S pode ter qualquer tamanho de 8 a $2^{32} - 1$ bytes (16 bytes é recomendado para *hash* de palavra-passe).

As entradas secundárias têm as seguintes restrições:

- O grau de paralelismo p determina quantas cadeias computacionais independentes (mas sincronizadas) podem ser executadas. Pode levar qualquer valor inteiro de 1 a $2^{24} - 1$.
- O tamanho da tag τ pode ser qualquer número inteiro de bytes de 4 a $2^{32} - 1$.
- O tamanho da memória m pode ser qualquer número inteiro de kilobytes de $8p$ a $2^{32} - 1$. O número real de blocos é m' , que é m arredondado para o múltiplo mais próximo de $4p$.
- Número de iterações t (usado para ajustar o tempo de execução independentemente do tamanho da memória) pode ser qualquer número inteiro de 1 a $2^{32} - 1$;
- O número da versão v é um byte $0x13$;
- O valor secreto K (serve como chave, se necessário, mas não assumimos nenhum uso de chave por padrão) pode ter qualquer tamanho de 0 a $2^{32} - 1$ bytes.
- Os dados associados X podem ter qualquer tamanho de 0 a $2^{32} - 1$ bytes.
- Dígito y de Argon2: 0 para Argon2d, 1 para Argon2i, 2 para Argon2id.

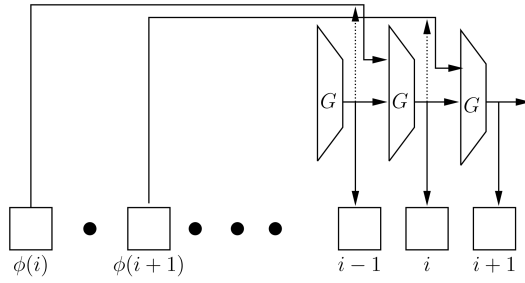


Fig. 1. Argon2 em modo de operação sem paralelismo.

O modo de operação do Argon2 é bastante simples quando nenhum paralelismo é usado: a função G é iterada m vezes. Na etapa i um bloco com índice $\phi(i) < i$ é retirado da memória como podemos ver na figura 1, onde $\phi(i)$ é determinado pelo bloco anterior em Argon2D, ou é um valor fixo em Argon2i.

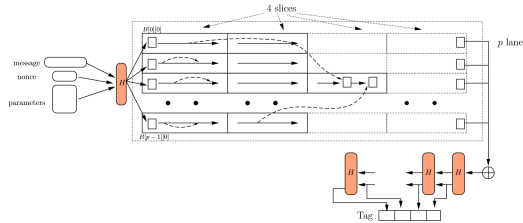


Fig. 2. Single-pass Argon2 com p planos e 4 fatias.

Na figura 2 podemos ter uma visão geral do funcionamento do Argon2, neste exemplo existem n planos e 4 fatias, recebe como input uma mensagem, *Nonce* e os parâmetros descritos acima e como output, ou *Tag*, temos uma string de T bytes de comprimento. [1]

Argon2d é otimizado para configurações onde o atacante não recebe acesso regular à memória do sistema ou CPU,

ou seja, não podem executar ataques de canal com base nas informações de tempo, nem podem recuperar a palavra-passe muito mais rápido usando a coleta de lixo. Essas configurações são mais comuns para servidores de back-end e mineração de criptomoedas. Por prática, são recomendadas as seguintes configurações:

- Mineração de criptomoedas, que leva 0,1 segundos num CPU de 2 GHz usando 1 núcleo – Argon2d com 2 pistas e 250 MB de RAM.

Argon2id é otimizado para configurações mais realistas, onde o atacante pode possivelmente aceder a mesma máquina, usar o CPU ou montar ataques de inicialização a frio. São recomendadas as seguintes configurações:

- Autenticação do servidor back-end, que leva 0,5 segundos em 2 GHz CPU usando 4 núcleos – Argon2id com 8 pistas e 4 GiB de RAM.
- Derivação de chave para criptografia de disco rígido, que leva 3 segundos uma CPU de 2 GHz usando 2 núcleos – Argon2id com 4 pistas e 6 GiB de RAM.
- Autenticação do servidor front-end, que leva 0,5 segundos em 2 GHz CPU usando 2 núcleos – Argon2id com 4 pistas e 1 GiB de RAM.

[5]

III. PERFORMANCE DO ALGORITMO

O tempo necessário para executar as operações de *hash* na versão de consola são semelhantes às da versão PHP, com o aumento no tempo dependendo da memória adquirida para uso pelo algoritmo Argon2. Também é importante notar que a eficiência do algoritmo é amplamente influenciada pelo número de threads usadas. Com 1 GB de memória usada, seis iterações e um fio, o tempo gasto para realizar esta operação foi de quase 12 segundos. Com quatro threads, caiu quase para metade e com oito threads atingiu pouco mais de 4,5 segundos. Claro, o exemplo mencionado acima é apenas um exemplo limitante do algoritmo Argon2 no ambiente de produção, pois é cobrado com um pesado uso do poder do processador e da memória. O uso de memória de 16MB ou 32MB em três iterações e dois threads é a solução ideal em termos de tempo e uso de recursos de hardware. [7]

IV. ANÁLISE CRIPTOGRÁFICA

Os níveis de resistência de colisão e pré-imagem de Argon2 são equivalentes aos da função de *hash* BLAKE2b subjacente. Para produzir uma colisão, são necessárias 2^{256} entradas. Para encontrar uma pré-imagem, 2^{512} entradas devem ser tentadas. A segurança do KDF é determinada pelo comprimento da chave e pelo tamanho do estado interno da função *hash* h' . Para distinguir o output do Argon2 com uma chave aleatória, são necessárias $(2^{128}, 2^{length(K)})$ chamadas mínimas para BLAKE2b. O melhor ataque ao Argon2i de 1- e 2-passagens (v.1.3) é o ataque de baixo armazenamento de cite corrigangibbsB16, que reduz o produto da área de tempo (usando o valor de memória de pico) pelo fator de 5. O melhor ataque para T -passagens ($T > 2$) Argon2i é o ataque de troca de

classificação, que reduz o produto da área de tempo pelo fator de 3. O melhor ataque ao Argon2D T é o ataque de troca de classificação, que reduz o produto da área de tempo pelo fator 1.33. [1]

Em termos de computação quântica, o algoritmo de Grover resolve essencialmente a tarefa de inversão da função. Se tivermos uma função $y = f(x)$ que pode ser avaliado num computador quântico, o algoritmo de Grover permite calcular x quando dado y . Consequentemente, o algoritmo de Grover fornece amplas acelerações assintóticas para muitos tipos de ataques de força bruta à criptografia de chave simétrica, incluindo ataques de colisão e ataques de pré-imagem. [8]

Existem alguns artigos publicados que têm foco em ataques ao algoritmo Argon2. O artigo de Boneh et al [9] mostra que é possível calcular uma função de passe de passagem única usando entre um quarto e um quinto do espaço desejado, sem penalidade de tempo, e calcular Argon2i com *multi-pass* salvando um fator de $e \approx 2.72$ em espaço sem penalidade de tempo de computação. Este tipo de ataque foi corrigido na versão mais recente do Argon2, de acordo com os criadores [1], pelas experiências que fizeram, os resultados mostram que em 1-pass Argon2i, em média, 1/7 da memória é usado. Como numa aplicação simples, em média, 1/2 da memória é usado, a vantagem no produto da área de tempo é de cerca de 3.5. Se for usado o valor da memória de pico nos cálculos da área de tempo, a vantagem seria de 5 a 2.7, respetivamente. A versão 1.3 do Argon2 substitui a operação de sobrescrever com o XOR. Isso fornece sobrecarga mínima sobre o desempenho: para os requisitos de memória de 8 MB e maior a diferença de desempenho é entre 5% 3-Pass Argon2d v.1.2.1 em 1,8 GHz CPU com o Ubuntu é de 1.61 ciclos por byte, enquanto para V.1.3 é 1.7 ciclos por byte (ambos medidos para 2 GB de RAM, 4 threads).

O artigo de Alwen-Blocki [10] consiste em provar a efetividade do ataque de Alwen-Blocki, que na altura da sua criação afetava a revisão Argon2i-A (Versão 1.0), na revisão o Argon2i-B (Versão 1.3), com o objetivo de analisar a segurança dessa revisão em particular, tendo em consideração que o ataque seja realizado sob restrições de hardware realísticas. Este artigo é também o primeiro trabalho a analisar a segurança do Argon2i-B. Conseguiram demonstrar que tal ataque, mesmo com tais restrições, é ainda possível de ser realizado na nova versão. Mesmo para definições de parâmetros pessimistas, o ataque conseguiu reduzir os custos por um fator de 2 usando apenas 1 GB de memória e que quando a largura de banda da memória limita o paralelismo, só era preciso ajustar os parâmetros de ataque em conformidade, sem afetar a qualidade de ataque. No entanto, o Argon2i-B demonstrou oferecer melhor resistência ao ataque do que Argon2i-A. O artigo também salienta que a redução dos custos de *data-independent memory hard functions* (p. ex., por um fator de 10) podem aumentar a percentagem de palavras-passe comprometidas num ataque offline (por exemplo, por até 60%). Segundo a análise do artigo com os dados recolhidos foram mostrados os efeitos que vários parâmetros têm na memória consumo do ataque. Em particular, foram retiradas

várias conclusões interessantes sobre o nível de segurança fornecido por essas funções.

- Para que o ataque Alwen-Blocki falhe contra parâmetros práticos de memória, Argon2i-B deve ser instanciado com mais de 10 passagens na memória. A atual proposta do IRTF chama mesmo apenas 6 passagens como a configuração “paranoid” recomendada.
- De um modo mais geral, o processo de seleção de parâmetros na proposta é falho na medida em que tende a produzir parâmetros para os quais o ataque é bem sucedido (mesmo sob condições realistas restrições ao paralelismo).
- A técnica de Corrigan-Gibbs para melhorar a segurança também pode ser superada pelo ataque Alwen-Blocki sob restrições de hardware realistas.
- Numa nota positiva, tanto a segurança assintótica quanto a concreta do Argon2i-B parecem melhorar a de Argon2i-A.

O artigo de Chen et al [11] teve como objetivo avaliar a qualidade do ataque de Alwen-Blocki. Conclui que o ataque apresenta uma ameaça teoricamente considerável para o Argon2, sendo uma ameaça preocupante a qualquer MHF com gráficos computacionais de indegredo fixo, praticamente falando ainda é uma melhoria em relação à disparidade entre os ASIC e os computadores, em perfeita harmonia com a exigência não-memória de palavras-passe. No entanto, indicaram que o ataque otimizado por hardware não é generalizável a diferentes membros da família Argon2, sendo pouco provável que a maioria dos alvos utilize o mesmo membro da família Argon2. Também salientaram a ausência da compra de equipamentos generalizados sub-pares ou conjuntos diferentes de ASIC's para diferentes alvos, sendo uma limitação pragmática significativa.

Segundo o artigo de [12], que faz uma análise sobre KDFs baseados em palavras-passe, devido às vulnerabilidades de ataques de colisão e δ -cutback (sendo esta vulnerabilidade explicada da seguinte forma: um par de passwords que conduzem à mesma chave criptográfica pode ser encontrado fazendo δ menos chamadas para PBKDFs do que o ataque birthday aos PBKDFs) nos PBKDFs apresentados, a segurança efetiva de AES-128 baseado em palavra-passe está comprometida, e é equivalente para o DES de força bruta. As vulnerabilidades existem devido à utilização funções de *hash* que funcionam de forma pseudo-random e a forma como as chaves criptográficas são derivadas do output da função pseudo-random. Tal como está agora, um chamado esquema de encriptação computacionalmente seguro, tal como AES, podem não ter qualquer ataque viável conhecido, mas se usado com KDF como PBKDFs são propensas a ataques.

Traduzido com a versão gratuita do tradutor - www.DeepL.com/Translator

V. COMPARAÇÃO COM OUTROS ALGORITMOS EXISTENTES

Existem vários algoritmos de *hash* disponíveis para além do algoritmo em análise, Argon2, como por exemplo o MD5, SHA1, SHA256, PBKDF2, bcrypt, scrypt, ou simplesmente

plaintext. Com várias implementações de algoritmos de *hash* pode-se tornar-se complicado perceber que diferenças existem entre os vários algoritmos, portanto nesta secção será realizada uma comparação dos algoritmos acima descritos, e outros, com o Argon2 e as suas derivações, Argon2i, Argon2d e Argon2id. [20]

A tabela I retirada do artigo de Maetouq et al [21] contém uma comparação de vários algoritmos analisados e foi concluído que há vários tipos de algoritmos *hash* utilizados para assegurar a integridade e autenticação de mensagens, alguns surgiram como padrão, tais como MD5, SHA-1, SHA-2 e SHA-3. Foi verificado neste artigo que a maioria deles ou são quebráveis, ou não são eficientes em termos de tempo. Além disso, este artigo discute outros algoritmos de *hash* que foram apresentados por investigadores, mas a maioria deles não foram testados contra ataques que são de natureza criptográfica, tais como ataques de colisão. Portanto, pode concluir-se que uma função de *hash* que seja eficiente e segura, e que cumpra requisitos de aplicação tais como integridade e autenticidade de dados, deve ser concebida e tornada numa prioridade.

A. Utilização de *plaintext*

Começando com o mais óbvio, usar *plaintext* (texto legível) para guardar informação delicada e portanto que deve ser escondida é o que deve ser evitado a todo o custo, pois qualquer pesquisa numa base de dados irá revelar todo o conteúdo de forma aberta a qualquer pessoa, daí a necessidade de usarmos algum algoritmo que torne esta informação encriptada. Ainda assim apesar da riqueza de métodos de criptografia existentes, algumas empresas ainda armazenam as palavras-passe em *plaintext*, isso significa que qualquer pessoa com acesso pode ler todas as informações altamente confidenciais, como as palavras-passe, datas de nascimento e números de cartão de crédito. Se uma palavra-passe estiver armazenada em *plaintext*, esta também pode ser rabiscada num bloco de notas e deixada na sala de espera para qualquer indivíduo mal intencionado ver. Bases de dados com palavras-passe em *plaintext* tornam a contenção muito mais difícil porque o atacante compromete instantaneamente a segurança de todos os utilizadores do serviço web. Poderia ser considerado que um ataque directo num servidor é um evento extremamente improvável, mas incidentes recentes e repetidos em grande escala (afetando milhões de utilizadores) têm vindo a aumentar nos últimos anos [22] e principalmente com a guerra na Ucrânia temos visto isso acontecer.

B. Comparação com MD5

Um dos algoritmos mais usados em bases de dados é o MD5, e é também um dos algoritmos mais velhos, criado em 1991, o algoritmo MD5 é uma extensão do algoritmo de *hash* MD4. O MD5 é um pouco mais lento que o MD4, mas é mais "conservador" no design. Porque o MD4 foi criado para ser excepcionalmente rápido, é também muito susceptível a ataques criptonalíticos bem-sucedidos. O MD5 recua um pouco, desistindo um pouco de velocidade por um

maior probabilidade de segurança final. Este incorpora alguns sugestões feitas por vários revisores e contém otimizações adicionais. O algoritmo MD5-Digest é simples de implementar e produz como output um "fingerprint" ou *hash* com um tamanho de 128 bits de uma mensagem de comprimento arbitrário. É conjecturado que a dificuldade de apresentar duas mensagens ter o mesmo *hash* está da ordem de 2^{64} operações, e que a dificuldade de apresentar qualquer mensagem tendo um dado *hash* está na ordem de 2^{128} operações. [23]

Por ser um algoritmo muito usado e pela sua idade, levaria a pensar que este seria um dos algoritmos mais seguros mas isto não se verifica. Desde 1992, o MD5 foi extensivamente estudado e novos ataques criptográficos foram descobertos. Os algoritmos de *hash* são desenhados para fornecer resistência de colisão, pré-imagem e segunda pré-imagem. O MD5 não é mais aceitável quando a resistência à colisão é necessária, como assinaturas digitais. Mas pode ser ainda usado para outros fins como o HMAC-MD5. As pseudo-colisões para a função de compactação do MD5 foram descritas pela primeira vez em 1993 [24]. Em 1996, [25] demonstrou um par de colisão para a função de compressão MD5 com um valor inicial escolhido. O primeiro artigo que demonstrou dois pares de colisão para MD5 foi publicado em 2004 [26]. As técnicas de ataque detalhadas para o MD5 foram publicadas em Eurocrypt 2005 [27]. Desde então, muitos resultados de pesquisa foram publicados para melhorar os ataques de colisão ao MD5. Os ataques apresentados em [28] podem encontrar colisão do MD5 em cerca de um minuto em um notebook padrão (Intel Pentium, 1,6 GHz). [29] afirma que leva 10 segundos ou menos em um pentium4 de 2,6 GHz para encontrar colisões. Em [29], [30], [31] e [32], os ataques de colisão ao MD5 foram aplicados com sucesso aos certificados X.509. Os ataques de colisão ao MD5 também podem ser aplicados a protocolos de autenticação challenge-and-response baseados em palavra-passe. [33]

Para guardar palavras-passe em bases de dados o MD5 não é aconselhável há vários anos, o MD5 pode ter outros usos mas como é um algoritmo que usa apenas 128 bits para o *hash* não consegue competir com o Argon2 que pode dar um output com um comprimento de 2^{32} bytes. Claro que pela diferença de anos em que estes algoritmos foram criados tem um impacto muito grande, pois desde 1992 houve uma evolução tecnológica muito grande.

C. Comparação com SHA

Os Secure Hash Algorithms são uma coleção de funções de *hash* criptográfico divulgadas pelo National Institute of Standards and Technology (NIST) como Federal Information Processing Standard (FIPS) nos Estados Unidos. Incluem os algoritmos:

- O SHA-1 é uma função de *hash* de 160 bits que é semelhante ao método MD5. A National Security Agency (NSA) criou este algoritmo como parte do Digital Signature Algorithm. Depois de que as falhas criptográficas do SHA-1 foram encontradas, o padrão não foi mais

Autor	Ano de publicação	Vantagens	Limitações
Belfedhal and Faraou [13]	2015	Fornecer boas propriedades criptográficas tais como comportamento pseudo-aleatório e sensibilidade à entrada alterações.	Não foi testado contra ataques que são criptográficos em natureza, por exemplo, ataques de encontro no meio do caminho, colisão ou aniversário ataques.
Wang et al [14]	2015	Fornecer uma saída variável.	Não foi testado contra ataques comuns, tais como colisão
Li et al [15]	2016	Tem um bom desempenho estatístico e resistência à colisão.	Qualquer atacante pode lançar ataques de colisão exaustivos em a função porque o valor final do <i>hash</i> é de 128 bits
Tur and Javure [16]	2016		Ainda são necessários módulos extra para permitir que o sistema proposto possa ser utilizado como uma aplicação real. Não foi testado contra ataques que são de natureza criptográfica, por exemplo, ataques de encontro no meio, colisão ou aniversário.
Li and Liu [17]	2016	A confusão e os bens de difusão de o algoritmo proposto é bom	Qualquer atacante pode lançar ataques de colisão exaustivos em a função porque o valor final do <i>hash</i> é de 128 bits
Ahmad et al [18]	2017	Tem um grande desempenho estatístico. Pode gerar um valor <i>hash</i> de comprimento 160,256 ou 512 bits.	
Zhang et al [19]	2017	O algoritmo proposto satisfaz o requisito de desempenho estatístico	O algoritmo não é eficiente em termos de tempo para obter o valor de <i>hash</i>

TABLE I
COMPARAÇÃO DE VARIAÇÕES DE ALGORITMOS DE *Hash*

autorizado para a maioria das aplicações criptográficas após 2010.

- O SHA-2 consiste numa família de dois algoritmos de *hash* semelhantes, SHA-256 e SHA-512, com tamanhos variados de blocos. O tamanho da palavra de SHA-256 e SHA-512 difere; O SHA-256 utiliza bits de 32 bits e o SHA-512 usa palavras de 64 bits. Cada padrão também possui versões truncadas chamadas SHA-224, SHA-384, SHA-512/224 e SHA-512/256. A NSA também foi responsável por isto.
- O SHA-3 é uma função de *hash* que era anteriormente conhecida como Keccak sendo escolhida em 2012 após uma competição pública entre designers que não pertencem à NSA. Ele usa os mesmos comprimentos de *hash* que o SHA-2 e possui uma estrutura interna diferente da restante da família SHA.

[34]

Estes algoritmos diferem mais significativamente no número de bits de segurança fornecidos para os dados que estão sendo *hash* - isso está diretamente relacionado ao comprimento do resumo da mensagem. Quando um algoritmo de *hash* seguro é usado em conjunto com outro algoritmo, pode haver requisitos especificados em outros lugares que exigem o uso de um algoritmo de *hash* seguro com um certo número de bits de

segurança. Por exemplo, se uma mensagem estiver sendo assinada com um algoritmo de assinatura digital que fornece 128 bits de segurança, esse algoritmo de assinatura pode exigir o uso de um algoritmo de *hash* seguro que também fornece 128 bits de segurança (por exemplo, SHA-256). Na Tabela II podemos ver algumas diferenças entre estes algoritmos.

Algorithm	Message Size (bits)	Block Size (bits)	Word Size (bits)	Message Digest Size (bits)
SHA-1	$< 2^{64}$	512	32	160
SHA-224	$< 2^{64}$	512	32	224
SHA-256	$< 2^{64}$	512	32	256
SHA-384	$< 2^{128}$	1024	64	384
SHA-512	$< 2^{128}$	1024	64	512
SHA-512/224	$< 2^{128}$	1024	64	224
SHA-512/256	$< 2^{128}$	1024	64	256

TABLE II
PROPRIEDADES DO SECURE HASH ALGORITHM

[20]

1) *SHA-1*: O algoritmo SHA-1 é susceptível a ataques de colisão, pré-imagem e segunda pré-imagem. O primeiro ataque de colisão ao SHA-1 foi publicado no início de 2005 [35]. Este ataque descreveu um ataque teórico a uma versão do SHA-1 reduzido para 53 rodadas. Desde então, muitos novos métodos de análise foram desenvolvidos para melhorar o ataque apresentado em [36]. No entanto, não há resultados publicados que melhore os resultados encontrados em [36].

[37], que é A International Association for Cryptologic Research (IACR) Eprint versão de [37], afirmou que o uso do método apresentado no jornal, uma colisão de sha-1 completa pode ser encontrada em 2^{51} chamadas da função *hash*. Os resultados da pesquisa conhecidos indicam que o SHA-1 não é tão resistente à colisão como esperado. A força de segurança da colisão é significativamente menor que uma função de *hash* ideal (isto é, 2^{69} em comparação a 2^{80}). Não há ataques de pré-imagem ou segundos pré-imagem conhecidos que são específicos para o algoritmo SHA-1 redondo completo. Kelsey e Schneier [38] descobriram um resultado geral para todas as funções de *hash* de Merkle-Damgaard (que inclui SHA-1), encontrar uma segunda pré-imagem leva menos do que 2^n cálculos. Quando $n = 160$, como é o caso do SHA-1, vai Tome 2^{106} cálculos para encontrar uma segunda pré-imagem em um 60 byte mensagem. Na ausência de ataques da rodada total, os criptografistas consideram ataques reduzidos para pistas sobre a força de um algoritmo. Ataques na rodada reduzida, onde o número de rodadas reduzidas não é mais do que algumas menos que as rodadas completas, não demonstraram relacionar para ataques completos. No entanto, o melhor ataque de rodada reduzida indica uma certa margem de segurança. Por exemplo, se o mais conhecido O ataque está em 60 em 80 rodadas, então o algoritmo tem cerca de 20 rodadas para resistir a ataques aprimorados. No entanto, a relação entre o número de rodadas que um ataque pode alcançar e o número de rodadas definido no algoritmo não é linear; não fornece um prova matemática. [39]

Como é o caso do MD5 e também pelo facto de que o SHA-1 é semelhante ao MD5, este algoritmo também não é recomendado para guardar palavras-passe, o NIST apenas recomenda o uso deste algoritmo para guardar informações não sensíveis, ou para verificar a integridade de informações. O Argon2 não é penalizado por estes ataques e como tal é mais seguro que o SHA-1.

2) *SHA-2*: A função SHA-2 é implementada em algumas aplicações e protocolos de segurança amplamente utilizados, incluindo TLS e SSL, PGP, SSH, S/MIME e IPSEC. O SHA-256 é usado para autenticar pacotes de software Debian e no padrão de assinatura de mensagens DKIM; SHA-256 e SHA-512 são propostos para uso em DNSSEC. [40] Várias criptomoedas, incluindo Bitcoin, usam o SHA-256 para verificar transações e calcular o proof of work ou a prova de participação. [41] SHA-256 pode ser usado fazer o *hash* de uma mensagem, M , com um comprimento de n bits, onde $0 \leq n < 2^{64}$, o algoritmo usa 1) um cronograma de mensagens de sessenta e quatro palavras de 32 bits, 2) oito variáveis de trabalho de 32 bits cada e 3) um valor de *hash* de oito palavras de 32 bits, o resultado final do SHA-256 é um *hash* de 256 bits. SHA-224 pode ser usado para *hash* uma mensagem, m , tendo um comprimento de bits, onde $0 \leq n < 2^{64}$. A função é definida exatamente da mesma maneira que o SHA-256, com as duas seguintes exceções:

- O valor inicial do *hash*, $h(0)$, deve ser definido conforme uma certa especificação;
- O resumo da mensagem de 224 bits é obtido cortando

o valor final do *hash*, $H(n)$, para os 224 bits mais à esquerda.

SHA-512 pode ser usado para *hash* uma mensagem, M , tendo um comprimento de bits, onde $0 \leq n < 2^{128}$, o algoritmo usa 1) um cronograma de mensagens de oitenta palavras de 64 bits, 2) oito variáveis de trabalho de 64 bits cada e 3) um valor de *hash* de oito palavras de 64 bits. O resultado final do SHA-512 é um *hash* de 512. Os algoritmos SHA-384, SHA-512/224 e SHA-512/256 são definidos exatamente da mesma maneira que o SHA-512, mas com as exceções do SHA-224, substituindo os valores correspondentes do SHA-224 pelos seus respectivos valores. [20]

Algumas das aplicações que usam *hashes* criptográficos, como armazenamento de palavra-passe, são apenas minimamente afetados por um ataque de colisão. A construção de uma palavra-passe que funciona para uma determinada conta requer um ataque de pré-imagem, bem como acesso ao *hash* da palavra-passe original (normalmente no arquivo de sombra) que pode ou não ser trivial. A criptografia de reversão de palavra-passe (por exemplo, para obter uma palavra-passe para tentar contra a conta de um usuário em outro lugar) não é possível pelos ataques. (No entanto, mesmo um *hash* de palavra-passe segura não pode impedir ataques de força bruta em palavras-passe fracas.) No caso de assinatura de documentos, um invasor não poderia simplesmente fingir uma assinatura de um documento existente - o invasor teria que produzir um par de documentos, um inócuo e um prejudicial, e fazer com que o detentor de chave privada assine o documento inócuo. Existem circunstâncias práticas em que isso é possível; Até o final de 2008, era possível criar certificados SSL forjados usando uma colisão MD5 que seria aceita por navegadores da Web amplamente utilizados. O SHA-2 ainda pode ser considerado um algoritmo relativamente seguro, mas é inferior ao Argon2 pois este oferece mais parâmetros de input para um *hash* mais seguro.

3) *SHA-3*: O SHA-3 é o mais recente padrão Secure Hash Algorithm, lançada pelo NIST em 5 de agosto de 2015. Embora parte da mesma série de padrões, o SHA-3 é internamente diferente da estrutura do tipo MD5 de SHA-1 e SHA-2. O SHA-3 é um subconjunto da família primitiva criptográfica mais ampla Keccak, criado por Guido Bertoni, Joan Daemen, Michaël Peeters e Gilles van Assche, construído a partir do Radiogatún. Os autores de Keccak propuseram usos adicionais para a função, ainda não (ainda) padronizados pelo NIST, incluindo um stream cipher, um sistema de criptografia autenticado, um esquema de *hash* de "árvore" para *hashes* mais rápidas em certas arquiteturas, e AEAD cifras Keyak e Ketje. Keccak é baseado numa nova abordagem chamada sponge construction. A sponge construction é baseada numa ampla função aleatória ou permutação aleatória e permite a entrada ("absorção" na terminologia de esponja) qualquer quantidade de dados e saída ("espremendo" qualquer quantidade de dados, enquanto age como uma função pseudorandom com relação a todas as entradas anteriores, isso leva a uma grande flexibilidade. Existe um resultado geral, o algoritmo de Grover, de que os computadores quânticos podem realizar

um ataque de pré-imagem estruturado em $\sqrt{2^d} = 2^{d/2}$, enquanto um ataque clássico de força bruta de bruta precisa 2^d . Um ataque estruturado de pré-imagem implica um segundo ataque de pré-imagem e, portanto, um ataque de colisão. Um computador quântico também pode realizar um ataque de aniversário, quebrar a resistência da colisão. [42]

No artigo de Sumagita e Riadi [43] foi usada a ferramenta *Hashcat* que serve para obter um *plaintext* de um *hash* ou texto cifrado, no teste de força bruta, os dados obtidos da experiência são o tempo necessário para obter um *plaintext* usando como base um *hash*, com o MD5 levou uma média de 54 segundos, enquanto o tempo necessário para o *hash* com o SHA 512 levou uma média de 68 segundos.

D. Comparação com PBKDF2

PBKDF2 aplica uma função pseudorandom para derivar chaves. A duração da chave derivada é essencialmente ilimitada (No entanto, o espaço de pesquisa efetivo máximo para a chave derivada pode ser limitada pela estrutura da função subjacente pseudorandom). Uma KDF produz uma chave derivada de uma chave base e outros parâmetros. Numa KDF baseada em palavra-passe, a chave base é uma palavra-passe e os outros parâmetros são um valor de *salt* e uma contagem de iteração. A aplicação principal da derivação de chave baseada em palavra-passe. Outras aplicações são certamente possíveis, daí a definição independente destes funções. [44]

PBKDF2 também pode ser usado com um *password-based encryption scheme* (PBES), por exemplo, o PBES2 combina uma KDF baseada em palavra-passe com um esquema de criptografia subjacente. O comprimento da chave e quaisquer outros parâmetros para o esquema de criptografia subjacente dependem do esquema. Também pode ser usado como um esquema de autenticação de mensagem baseada em palavra-passe, um esquema de autenticação de mensagem consiste numa operação de geração de um *Message Authentication Code* (MAC) e uma operação verificação do MAC, onde a operação de geração do MAC produz um MAC de uma mensagem sob uma chave, e a operação de verificação do MAC verifica o código de autenticação da mensagem sob a mesma chave. Num esquema de autenticação de mensagem baseada em palavra-passe, a chave é uma palavra-passe. O PBMAC1 combina uma KDF baseada em palavra-passe com um esquema de autenticação de mensagem subjacente. O comprimento da chave e quaisquer outros parâmetros subjacentes para o esquema de autenticação da mensagem depende do esquema. A criptografia baseada em palavra-passe é geralmente limitada na segurança que pode fornecer, principalmente para métodos como os PBES2 e PBMAC1 onde a pesquisa de palavra-passe offline é possível. Enquanto o uso de um *salt* e uma contagem de iteração pode aumentar a complexidade do ataque, é essencial que as palavras-passe são bem selecionados e as diretrizes relevantes devem ser levadas em consideração. Também é importante que as palavras-passe sejam bem protegido se são armazenadas. [45]

As chaves derivadas em PBKDF2 também sofrem de não aleatoriedade, embora as relações entre as chaves são um pouco

mais complicadas. Seja s qualquer valor de *salt* e seja c_1, c_2, c_3 três contagens consecutivas de iteração. Para $i = 1, 2, 3$, defina $y_i = F(p, s, c_i) = U_1 \oplus \dots \oplus U_{c_i}$. Então, temos $y_1 \oplus y_2 = U_{c_2}$ e $y_2 \oplus y_3 = U_{c_3}$. Isso produz a seguinte relação entre as três chaves: $(y_2 \oplus y_3) = H_p(y_1 \oplus y_2)$, onde $H_p()$ é a função subjacente HMAC. Essa relação entre keys abre a porta para ataques de dicionário. O atacante simplesmente calcula a função HMAC $H_p(U_{c_2})$ para todas as palavras-passe possíveis P , e a palavra-passe que fornece $H_p(U_{c_2}) = U_{c_3}$ é muito provável que seja a correta palavra-passe usada no esquema. Uma vez que P é conhecido, é fácil distinguir a chave derivada de uma string aleatória. Observamos que a carga de trabalho do ataque acima é $|PW|$, não importa o que seja. Isso implica que a contagem de iteração não adicione muita (ou qualquer) proteção no PBKDF2 contra ataques de dicionário. [46]

E. Comparação com bcrypt

O bcrypt é um algoritmo de *hash* criado por Niels Propos e David Mazières, baseado na cifra do Blowfish e apresentada na USENIX em 1999 [47]. Além de incorporar um *salt* para proteger contra ataques que usam uma *rainbow table*, o bcrypt é uma função adaptativa: com o tempo, a contagem de iteração pode ser aumentada para torná-la mais lenta, portanto permanece resistente a ataques de força bruta, mesmo com o aumento do poder de computação. A função bcrypt é o algoritmo de *hash* de palavra-passe padrão para o OpenBSD [48] e foi o padrão para algumas distribuições Linux, como o SUSE Linux [49]. É importante observar que o bcrypt não é uma KDF. Por exemplo, não pode ser usado para extrair uma chave de 512 bits de uma palavra-passe. Ao mesmo tempo, algoritmos como PBKDF2, scrypt e Argon2 são KDFs baseadas em palavra-passe onde a saída é usada para fins de *hash* de palavra-passe, em vez de apenas derivação de chave. PBKDF2 é mais fraco que o bcrypt, o algoritmo de *hash* SHA-2 geralmente usado não é memory-hard. O SHA2 foi criado para ser extremamente leve, para que possa ser executado em dispositivos computacionalmente fracos (por exemplo, cartões inteligentes) [50]. Isso significa que o PBKDF2 é muito fraco para armazenamento de palavra-passe. Scrypt é mais fraco que o bcrypt para requisitos de memória inferior a 4 MB [51]. O scrypt requer aproximadamente 1000 vezes a memória do bcrypt para obter um nível comparável de defesa contra ataques baseados em GPU (para armazenamento de palavra-passe). [52]

O Argon2 é comparável com o bcrypt em tempos de execução inferiores a 1 segundo para autenticação de palavra-passe. Uma vantagem que o Argon2 tem em relação ao bcrypt é poder ser um KDF (baseado em palavra-passe), o Argon2d também pode ser usado para criptomoedas ou aplicações que requerem *proof-of-work* pois é mais rápido que Argon2i e por sua vez bcrypt, mas também é relativamente mais inseguro.

F. Comparação com BLAKE2

A função *hash* criptográfica BLAKE2 foi criada por Jean-Philippe Aumasson, Samuel Neves, Zooko Wilcox-O'Hearn e Christian Winnerlein. BLAKE2 vem em duas versões básicas:

- BLAKE2b (ou apenas BLAKE2) é otimizado para plataformas de 64 bits e produz resumos de qualquer tamanho entre 1 e 64 bytes.
- BLAKE2s é otimizado para plataformas de 8 a 32 bits e produz *digests* de qualquer tamanho entre 1 e 32 bytes.

BLAKE2 não requer uma construção especial "HMAC" (Código de autenticação de mensagem com *hash*) para autenticação de mensagem com chave, pois possui uma chave integrada mecanismo. A função *hash* BLAKE2 pode ser usada por algoritmos de assinatura digital e autenticação de mensagens e mecanismos de proteção de integridade em aplicativos como Infraestrutura de Chave Pública (PKI), protocolos de comunicação, armazenamento em nuvem, detecção de intrusão, forense suítes e sistemas de controle de versão. A suíte BLAKE2 oferece uma alternativa mais eficiente ao US Secure Algoritmos de *hash* SHA e HMAC-SHA [53]. BLAKE2s-128 é especialmente adequado como uma substituição rápida e mais segura para MD5 e HMAC-MD5 em aplicações legadas [33]. [54]

VI. CONCLUSÃO

O Argon2 é um dos algoritmos de *hash* mais seguros da atualidade, é inspirado nalguns algoritmos também considerados seguros até ao momento como o Bcrypt e Scrypt e por isso acaba por ser uma evolução lógica dos algoritmos de *hash*, tira proveito do conhecimento adquirido sobre os algoritmos criados até ao momento do desenho do Argon2. Apenas uma versão do algoritmo tem vulnerabilidades que podem ser consideradas graves, mas estas vulnerabilidades podem ser negadas como explicado na secção "Análise criptográfica". Este algoritmo tem muitas vantagens, mas uma desvantagem que pode causar problemas nalgumas situações é o fato do algoritmo poder ser muito lento caso sejam modificados alguns parâmetros, é necessário criar um equilíbrio nestas situações entre segurança e tempo de execução. Apesar de ser um algoritmo seguro não tem muito suporte por parte de organizações ou indivíduos, como podemos verificar pelo número de downloads deste algoritmo [55], e por exemplo as bases de dados mais usadas (MySQL ou MariaDB) suportam o MD5 ou SHA-2 mas não o Argon2.

REFERENCES

- [1] A. Biryukov, D. Dinu, and D. Khovratovich, "Argon2: the Memory-Hard Function for Password Hashing and Other Applications," Mar. 2017. [Online]. Available: <https://github.com/P-H-C/phc-winner-argon2/blob/master/argon2-specs.pdf>
- [2] S. Al-Kuwari, J. Davenport, and R. Bradford, "Cryptographic hash functions: Recent design trends and security notions." *IACR Cryptology ePrint Archive*, vol. 2011, p. 565, 01 2011.
- [3] "Cryptographic hash function," 2022, accessed: 2022-05-21. [Online]. Available: https://en.wikipedia.org/wiki/Cryptographic_hash_function
- [4] (2019) Password Hashing Competition. Accessed on 2022-04-21. [Online]. Available: <https://www.password-hashing.net/>
- [5] A. Biryukov, D. Dinu, D. Khovratovich, and S. Josefsson, "Argon2 Memory-Hard Function for Password Hashing and Proof-of-Work Applications," RFC 9106, Sep. 2021. [Online]. Available: <https://www.rfc-editor.org/info/rfc9106>
- [6] A. Biryukov and D. Khovratovich, "Egalitarian Computing," in *25th USENIX Security Symposium (USENIX Security 16)*. Austin, TX: USENIX Association, Aug. 2016, pp. 315–326. [Online]. Available: <https://www.usenix.org/conference/usenixsecurity16/technical-sessions/presentation/biryukov>
- [7] M. Duka, "Elliptic-Curve Cryptography (ECC) and Argon2 Algorithm in PHP Using OpenSSL and Sodium Libraries," *Informatyka Automatyka Pomiary w Gospodarce i Ochronie Środowiska*, vol. 10, pp. 91–94, 09 2020.
- [8] D. Bernstein, J. Buchmann, and E. Dahmen, *Post-Quantum Cryptography*. Springer Berlin Heidelberg, 2009. [Online]. Available: <https://books.google.pt/books?id=VB598IO47NAC>
- [9] D. Boneh, H. Corrigan-Gibbs, and S. Schechter, "Balloon Hashing: A Memory-Hard Function Providing Provable Protection Against Sequential Attacks," in *International Conference on the Theory and Application of Cryptology and Information Security*. Springer, 2016, pp. 220–248, <https://ia.cr/2016/027>.
- [10] J. Alwen and J. Blocki, "Towards Practical Attacks on Argon2i and Balloon Hashing," in *2017 IEEE European Symposium on Security and Privacy (EuroS P)*. IEEE, 2017, pp. 142–157.
- [11] M. Gu, R. Berg, and C. Chen, "Investigation of Practical Attacks on the Argon2i Memory-hard Hash Function," 2017.
- [12] G. Kodwani, S. Arora, and P. K. Atrey, "On security of key derivation functions in password-based cryptography," in *2021 IEEE International Conference on Cyber Security and Resilience (CSR)*, 2021, pp. 109–114.
- [13] A. E. Belfedhal and K. M. Faraoun, "Building secure and fast cryptographic hash functions using programmable cellular automata," *Journal of computing and information technology*, vol. 23, no. 4, pp. 317–328, 2015.
- [14] M.-J. Wang and Y.-Z. Li, "Hash function with variable output length," in *2015 International Conference on Network and Information Systems for Computers*. IEEE, 2015, pp. 190–193.
- [15] Y. Li, G. Ge, and D. Xia, "Chaotic hash function based on the dynamic s-box with variable parameters," *Nonlinear Dynamics*, vol. 84, no. 4, pp. 2387–2402, 2016.
- [16] M. Turčaník and M. Javurek, "Hash function generation by neural network," in *2016 New Trends in Signal Processing (NTSP)*. IEEE, 2016, pp. 1–5.
- [17] Y. Li, X. Li, and X. Liu, "A fast and efficient hash function based on generalized chaotic mapping with variable parameters," *Neural Computing and Applications*, vol. 28, no. 6, pp. 1405–1415, 2017.
- [18] M. Ahmad, S. Khurana, S. Singh, and H. D. AlSharari, "A simple secure hash function scheme using multiple chaotic maps," *3D Research*, vol. 8, no. 2, pp. 1–15, 2017.
- [19] P. Zhang, X. Zhang, and J. Yu, "A parallel hash function with variable initial values," *Wireless Personal Communications*, vol. 96, no. 2, pp. 2289–2303, 2017.
- [20] Q. Dang, "Secure hash standard (shs)," August 2015.
- [21] A. Maetouq, S. Daud, N. Ahmad, N. Maarop, N. N. A. Sjarif, and H. Abas, "Comparison of hash function algorithms against attacks: A review," *International Journal of Advanced Computer Science and Applications*, br, vol. 8, 2018.
- [22] A. Lukehart. (2022) 2022 Cyber Attack Statistics, Data, and Trends. Accessed on 2022-05-22. [Online]. Available: <https://parachute.cloud/2022-cyber-attack-statistics-data-and-trends/>
- [23] R. L. Rivest, "The MD5 Message-Digest Algorithm," RFC 1321, Apr. 1992. [Online]. Available: <https://www.rfc-editor.org/info/rfc1321>
- [24] B. den Boer and A. Bosselaers, "Collisions for the compression function of md5," in *Advances in Cryptology — EUROCRYPT '93*, T. Hellese, Ed. Berlin, Heidelberg: Springer Berlin Heidelberg, 1994, pp. 293–304.
- [25] H. Dobbertin, "Cryptanalysis of md5 compress," 05 2001.
- [26] X. Wang, D. Feng, X. Lai, and H. Yu, "Collisions for hash functions md4, md5, haval-128 and ripemd." *IACR Cryptology ePrint Archive*, vol. 2004, p. 199, 01 2004.
- [27] X. Wang and H. Yu, "How to break md5 and other hash functions," vol. 3494, 05 2005, pp. 561–561.
- [28] V. Klima, "Tunnels in hash functions: Md5 collisions within a minute." *IACR Cryptology ePrint Archive*, vol. 2006, p. 105, 01 2006.
- [29] M. Stevens, "On collisions for md5," M.S. thesis, 01 2007.
- [30] M. Stevens, A. Lenstra, and B. Weger, "Chosen-prefix collisions for md5 and colliding x.509 certificates for different identities," vol. 4586, 05 2007.
- [31] M. Stevens, A. Sotirov, J. Appelbaum, A. Lenstra, D. Molnar, D. A. Osvik, and B. de Weger, "Short chosen-prefix collisions for md5 and the

- creation of a rogue ca certificate,” in *Advances in Cryptology - CRYPTO 2009*, S. Halevi, Ed. Berlin, Heidelberg: Springer Berlin Heidelberg, 2009, pp. 55–69.
- [32] M. Stevens, A. Lenstra, and B. Weger, “Chosen-prefix collisions for md5 and applications,” *International Journal of Applied Cryptography*, vol. 2, 07 2012.
 - [33] S. Turner, “Updated Security Considerations for the MD5 Message-Digest and the HMAC-MD5 Algorithms,” RFC 6151, Mar. 2011. [Online]. Available: <https://www.rfc-editor.org/info/rfc6151>
 - [34] “Secure hash algorithms,” 2022, accessed: 2022-05-29. [Online]. Available: http://en.wikipedia.org/wiki/Secure_Hash_Algorithms
 - [35] V. Rijmen and E. Oswald, “Update on sha-1,” in *Topics in Cryptology – CT-RSA 2005*, A. Menezes, Ed. Berlin, Heidelberg: Springer Berlin Heidelberg, 2005, pp. 58–71.
 - [36] X. Wang, Y. L. Yin, and H. Yu, “Finding collisions in the full sha-1,” in *Advances in Cryptology – CRYPTO 2005*, V. Shoup, Ed. Berlin, Heidelberg: Springer Berlin Heidelberg, 2005, pp. 17–36.
 - [37] S. Manuel, “Classification and generation of disturbance vectors for collision attacks against sha-1,” in *Designs, Codes and Cryptography*, vol. 59, no. 1-3. Springer Berlin Heidelberg, 2011, pp. 247–263.
 - [38] J. Kelsey and B. Schneier, “Second preimages on n-bit hash functions for much less than 2^n work,” 05 2005, pp. 474–490.
 - [39] T. Polk, S. Turner, and P. E. Hoffman, “Security Considerations for the SHA-0 and SHA-1 Message-Digest Algorithms,” RFC 6194, Mar. 2011. [Online]. Available: <https://www.rfc-editor.org/info/rfc6194>
 - [40] J. Jansen, “Use of SHA-2 Algorithms with RSA in DNSKEY and RRSIG Resource Records for DNSSEC,” RFC 5702, Oct. 2009. [Online]. Available: <https://www.rfc-editor.org/info/rfc5702>
 - [41] Patrick, “What is sha-256 and how is it related to bitcoin?” 2022. [Online]. Available: <https://www.mycryptopedia.com/sha-256-related-bitcoin/>
 - [42] “Sha-3,” 2022, accessed: 2022-05-28. [Online]. Available: <https://en.wikipedia.org/wiki/SHA-3>
 - [43] M. Sumagita, I. Riadi, J. Sh, and U. Warungboto, “Analysis of secure hash algorithm (sha) 512 for encryption process on web based application,” *International Journal of Cyber-Security and Digital Forensics (IJCSDF)*, vol. 7, no. 4, pp. 373–381, 2018.
 - [44] B. Kaliski, “PKCS #5: Password-Based Cryptography Specification Version 2.0,” RFC 2898, Sep. 2000. [Online]. Available: <https://www.rfc-editor.org/info/rfc2898>
 - [45] K. Moriarty, B. Kaliski, and A. Rusch, “PKCS #5: Password-Based Cryptography Specification Version 2.1,” RFC 8018, Jan. 2017. [Online]. Available: <https://www.rfc-editor.org/info/rfc8018>
 - [46] F. F. Yao and Y. L. Yin, “Design and analysis of password-based key derivation functions,” in *Topics in Cryptology – CT-RSA 2005*, A. Menezes, Ed. Berlin, Heidelberg: Springer Berlin Heidelberg, 2005, pp. 245–261.
 - [47] N. Provos and D. Mazieres, “A future-adaptable password scheme,” 1999, accessed: 2022-06-01. [Online]. Available: https://www.usenix.org/legacy/events/usenix99/provos/provos_html/node1.html
 - [48] “Cvs log for src/lib/libc/crypt/bcrypt.c,” 2020, accessed: 2022-06-01. [Online]. Available: <https://cvsweb.openbsd.org/cgi-bin/cvsweb/src/lib/libc/crypt/bcrypt.c>
 - [49] L. Nussel, “Suse security announcement,” 2011, accessed: 2022-06-01. [Online]. Available: https://web.archive.org/web/20160304094921/https://www.suse.com/support/security/advisories/2011_35_blowfish.html
 - [50] “Secure hash standard,” August 2002.
 - [51] A. Ferrara, “Why i don’t recommend scrypt,” 2014, accessed: 2022-06-01. [Online]. Available: <https://blog.ircmaxell.com/2014/03/why-i-dont-recommend-scrypt.html>
 - [52] “bcrypt,” 2022, accessed: 2022-06-01. [Online]. Available: <https://en.wikipedia.org/wiki/Bcrypt>
 - [53] T. Hansen and D. E. E. 3rd, “US Secure Hash Algorithms (SHA and SHA-based HMAC and HKDF),” RFC 6234, May 2011. [Online]. Available: <https://www.rfc-editor.org/info/rfc6234>
 - [54] M.-J. O. Saarinen and J.-P. Aumasson, “The BLAKE2 Cryptographic Hash and Message Authentication Code (MAC),” RFC 7693, Nov. 2015. [Online]. Available: <https://www.rfc-editor.org/info/rfc7693>
 - [55] J. Potter, “argon2 vs bcryptjs vs blake2b vs md5.js vs pbkdf2 vs scrypt vs sha256,” 2022. [Online]. Available: <https://www.npmtrends.com/argon2-vs-bcryptjs-vs-md5.js-vs-pbkdf2-vs-scrypt-vs-sha256-vs-blake2b>